### 载葛根素聚乙烯亚胺/海藻酸钠自组装纳米粒的制备及性能研究

赵庭1, 贾运涛2, 张良珂1\*

- 1. 重庆医科大学药学院 重庆高校药物工程研究中心,重庆市生物化学与分子药理学重点实验室,重庆 400016
- 2. 重庆医科大学附属儿童医院 药剂科, 重庆 400010

摘 要:目的 构建载葛根素 (Pur)聚乙烯亚胺/海藻酸钠 (PEI/ALG) 自组装纳米粒 (Pur-PEI/ALG-NPs),并考察其制备工艺与性能。方法 采用自组装法制备 Pur-PEI/ALG-NPs;采用 UV 法定量,采用马尔文粒度仪对 Pur-PEI/ALG-NPs 进行表征;并考察其体外释放行为;以包封率和载药量为评价指标,采用中心组合设计-效应面法(CCD-RSM)优化 Pur-PEI/ALG-NPs处方。结果 优化后的处方:PEI质量浓度为 3.2 mg/mL,ALG质量浓度为 1.3 mg/mL,PEI-ALG质量比为 3.75:1,平均粒径为(118.0±0.4)nm,Zeta 电位为(35.2±0.7)mV,包封率为(24.13±1.78)%,载药量为(11.17±0.71)%;体外释放结果表明 Pur-PEI/ALG-NPs 加快了 Pur 的释放速率。结论 成功制备了 Pur-PEI/ALG-NPs,粒径小且分布集中,表面具有丰富的正电荷,为葛根素在临床眼部治疗奠定了基础。

关键词:聚乙烯亚胺;葛根素;海藻酸钠;中心组合设计-效应面法;自组装纳米粒

中图分类号: R283.6 文献标志码: A 文章编号: 0253 - 2670(2017)17 - 3523 - 06

**DOI:** 10.7501/j.issn.0253-2670.2017.17.012

# Preparation and characterization of puerarin-loaded polyethyleneimine/sodium alginate nanoparticles

ZHAO Ting<sup>1</sup>, JIA Yun-tao<sup>2</sup>, ZHANG Liang-ke<sup>1</sup>

- 1. Research Center for Pharmaceutical Engineering of Chongqing, Chongqing Key Laboratory for Biochemistry and Molecular Pharmacology, College of Pharmacy, Chongqing Medical University, Chongqing 400016, China
- 2. Department of Pharmacy, Children's Hospital of Chongqing Medical University, Chongqing 400010, China

**Abstract: Objective** To develop the puerarin-loaded polyethyleneimine/alginate nanoparticles (Pur-PEI/ALG-NPs) and investigate their physicochemical properties. **Methods** The Pur-PEI/ALG-NPs were prepared by electrostatic interaction. The particle size and Zeta potential of nanoparticles were measured by laser light scattering using a Zeta sizer ZEN3600, *in vitro* release curves for which were studied. The formulation variables were optimized by central composite design-response surface methodology (CCD-RSM) with entrapment efficiency and drug loading as dependent variables. **Results** An optimal formulation was confirmed as follows: polyethyleneimine concentration was 3.2 mg/mL, alginate concentration was 1.3 mg/mL and the mass ratio of PEI/ALG was 3.75. The resulting nanoparticles exhibited entrapment efficiency of  $(24.13 \pm 1.78)\%$  and drug loading of  $(11.17 \pm 0.71)\%$ , respectively. Zeta potential of nanoparticles was found to be  $(35.2 \pm 0.7)$  mV, with the average diameter of  $(118.0 \pm 0.4)$  nm. *In vitro* release test proved that nanoparticles accelerated the release rate of Pur. **Conclusion** Pur-PEI/ALG-NPs are prepared successfully with narrow particle size distribution and rich positive charge, which may lay the foundation for further clinical ocular application of Pur.

**Key words:** polyethyleneimine; puerarin; sodium alginate; central composite design-response surface methodology; self-assembled nanoparticles

葛根素(puerarin, Pur)具有降低眼内压、增强血流量及改善视网膜微循环的功能,同时对治疗老龄化黄斑病有良好的效果<sup>[1-3]</sup>。传统滴眼液因泪液

分泌、鼻泪管清除等原因导致其眼部生物利用度较低<sup>[4-5]</sup>。新兴纳米技术应用于眼部给药有望减少给药刺激性,缓释药物,并提高药物渗透率<sup>[6-8]</sup>。聚乙烯

收稿日期: 2017-04-15

基金项目: 重庆市自然科学基金资助项目 (cstc2016jcyjA0068)

作者简介: 赵 庭(1992—), 女,硕士研究生,主要从事中西药物新型给药系统研究。Tel: (023)68485161 E-mail: 1139357422@qq.com

<sup>\*</sup>通信作者 张良珂,男,教授。Tel: (023)68485161 E-mail: zlkdyx@126.com

亚胺(polyethyleneimine,PEI)具有丰富的正电荷,可与带负电荷的眼角膜相互作用,其形成的纳米粒有望增加滞留时间,降低清除率,提高药物的生物利用度<sup>[9-11]</sup>。本实验以 PEI 和海藻酸钠(sodium alginate,ALG)为材料,制备葛根素-聚乙烯亚胺/海藻酸钠自组装纳米粒(Pur-PEI/ALG-NPs),为葛根素新型眼用制剂的临床应用奠定了基础。

### 1 仪器与材料

UV/Vis-2600 型紫外分光光度计,日本岛津公司; DF-IO1S 恒温加热磁力搅拌器,巩义市予华仪器; ZEN3600 型激光粒度仪,英国马尔文公司; R18型高速冷冻医用离心机,北京白洋医疗器械有限公司; Avatar 330FT-IR 型红外光谱仪,美国 Thermo Nicolet 公司; KQ2200E 型超声波清洗器,昆山市超声仪器有限公司。

PEI,分枝状,相对分子质量 600,上海阿拉丁试剂公司,批号 F1518083; ALG,美国 FMC 公司,批号 S22278; Pur 原料药,西安小草植物科技有限公司,质量分数 98%,批号 XC10050;实验用水为超纯水,其他试剂为分析纯。

### 2 方法与结果

### 2.1 Pur-PEI/ALG-NPs 与 PEI/ALG-NPs 的制备

采用自组装法<sup>[12]</sup>制备 Pur-PEI/ALG-NPs。称取处方量 PEI 溶于 0.5%醋酸溶液中,在搅拌条件下将质量浓度为 1.0 mg/mL 的 Pur 药物溶液缓慢滴入上述 PEI 溶液中,30 ℃恒温搅拌 10 min,缓慢匀速地滴加处方量的 ALG 溶液,继续搅拌 30 min,即得 Pur-PEI/ALG-NPs。PEI/ALG-NPs 的制备方法同上,无投药步骤,即得 PEI/ALG-NPs。

### 2.2 药物的定量测定

- 2.2.1 检测波长的确定 称取适量 Pur,溶解于水,在波长 200~800 nm 扫描,结果显示 Pur 在 250 nm 处有最大吸收,而载体 PEI 和 ALG 在此处基本无紫外吸收,因此以 250 nm 作为检测波长。
- **2.2.2** 标准曲线的绘制 精密称取 5.0 mg Pur,溶解后稀释成 3.0、5.0、6.0、7.0、9.0、10.0  $\mu$ g/mL 的溶液,分别于 250 nm 处测定吸光度(A)值,以 A 值对药物质量浓度(C)进行线性回归,得回归 方程: A=0.071 4 C-0.000 2,r=0.999 3,表明 Pur 在 3.0~10.0  $\mu$ g/mL 与 A 值线性关系良好。
- **2.2.3** 包封率与载药量的测定 取适量 Pur-PEI/ALG-NPs于 25 ℃、16 000 r/min 离心 40 min,得上清液,于 250 nm 测定 A 值,代入上述方程计算

Pur 的药物质量浓度,并根据下列公式计算包封率与载药量。

包封率=纳米粒中药物质量/纳米粒质量 载药量=(总投药量-游离药量)/总投药量

### 2.3 制备工艺对 Zeta 电位和粒径的影响

由于 PEI 和 ALG 静电作用形成纳米粒, PEI 与 ALG 的质量浓度是纳米粒形成的显著影响因素, 因此需要对两者质量浓度以及质量比进行考察。

2.3.1 ALG 质量浓度对 Pur-PEI/ALG-NPs 的影响接 "2.1"项下制备方法,以 PEI 质量浓度为 2.0 mg/mL, PEI-ALG 质量比为 4:1, ALG 质量浓度分别为 1.0、2.0、3.0、4.0、5.0 mg/mL 进行实验,以 Pur-PEI/ALG-NPs 粒径、Zeta 电位作为评价指标。如表 1 所示,ALG 质量浓度变化对 Zeta 电位影响较小,对粒径影响较大,ALG 质量浓度越高则粒径越大,且当 ALG 质量浓度为 3.0 mg/mL,溶液开始出现絮凝物,因此实验选择质量浓度范围在 1.0~3.0 mg/mL 的 ALG 溶液进行研究。

表 1 ALG 质量浓度对纳米粒粒径及电位分布的影响  $(\bar{x} \pm s, n = 3)$ 

Table 1 Effect of concentration of ALG on particle size and Zeta potential ( $\overline{x} \pm s$ , n = 3)

ALG/	外观	平均粒径/	PDI	Zeta 电位/
$(mg \cdot mL^{-1})$		nm		mV
1.0	NPs	$116.1 \pm 3.4$	$0.134 \pm 0.002$	$37.7 \pm 0.4$
2.0	NPs	$162.3 \pm 6.0$	$0.179\pm0.013$	$40.4 \pm 0.5$
3.0	NPs	$224.0 \pm 5.0$	$0.233 \pm 0.015$	$42.1 \pm 0.2$
4.0	NPs	$282.6 \pm 5.5$	$0.254 \pm 0.010$	$43.9 \pm 0.3$
5.0	沉淀	_	_	_

<sup>&</sup>quot;一"表示无法检测出,下同

2.3.2 PEI 质量浓度对 Pur-PEI/ALG-NPs 的影响接 "2.1"项下制备方法,以 ALG 质量浓度为 2.0 mg/mL, PEI-ALG 质量比为 4:1, PEI 质量浓度分别为 1.0、3.0、5.0、7.0 mg/mL 进行实验,以 Pur-PEI/ALG-NPs 粒径、Zeta 电位作为评价指标。结果如表 2 所示,粒径随着 PEI 质量浓度增加而增大,且电位值波动较为明显。PEI 为水溶性高分子聚合物,具有强附着性和吸附性,当 PEI 质量浓度低于 1.0 mg/mL,溶液几乎澄清;随着 PEI 质量浓度上升,纳米体系的黏度逐渐升高,流动性降低,粒径逐渐增大;当 PEI 质量浓度增加到 7.0 mg/mL,滴入少量 ALG 即引发 PEI 团聚从而产生大块沉淀,因此

<sup>&</sup>quot;-" indicates that it cannot be detected, same as below

表 2 PEI 质量浓度对纳米粒粒径及电位分布的影响  $(\bar{x} \pm s, n = 3)$ 

Table 2 Effect of concentration of PEI on particle size and Zeta potential ( $\bar{x} \pm s, n = 3$ )

PEI/	外观	平均粒径/	PDI	Zeta 电位/	
$(mg \cdot mL^{-1})$		nm		mV	
1.0	NPs	92.9±4.5	$0.111 \pm 0.012$	37.2±0.3	
3.0	NPs	$147.3 \pm 5.5$	$0.220 \pm 0.085$	$40.1 \pm 0.1$	
5.0	NPs	$187.7 \pm 7.8$	$0.254 \pm 0.015$	$35.5 \pm 0.5$	
7.0	沉淀	_	_	_	

PEI 合适质量浓度为 2.0~5.0 mg/mL。

2.3.3 PEI-ALG 质量比对 Pur-PEI/ALG-NPs 的影响接 "2.1"项下制备方法,以 PEI 质量浓度为 3.0 mg/mL,ALG 质量浓度为 1.0 mg/mL,PEI-ALG 质量比分别为 1:1、2:1、3:1、4:1、4.5:1、5:1、6:1 进行实验,以 Pur-PEI/ALG-NPs 粒径、Zeta电位作为评价指标。结果如表 3 所示,随着 PEI-ALG 质量比增大,电位无显著变化,粒径呈先下降后上升的趋势。当 PEI-ALG 质量比为 1:1 时,溶液混浊并产生悬浮颗粒; PEI-ALG 质量比为 4:1 时为粒径转折点,此时游离 PEI、ALG 较少,粒径达到最小值;随着 PEI 的量继续增大,打破纳米混悬液的平衡状态,粒径逐渐增大,出现絮状物质。综合考虑选择 PEI-ALG 质量比范围为 2:1~5:1。

### 表 3 PEI/ALG 质量比对纳米粒粒径及电位分布的影响 $(\bar{x} \pm s, n = 3)$

Table 3 Effect of mass ratio of PEI to ALG on particle size and Zeta potential ( $\bar{x} \pm s, n = 3$ )

PEI-ALG	外观	平均粒径/	PDI	Zeta 电位/
质量比		nm		mV
1:1	溶液	_	_	_
2:1	NPs	$154.5 \pm 6.3$	$0.264 \pm 0.010$	$38.1 \pm 0.2$
3:1	NPs	$119.2 \pm 5.5$	$0.131 \pm 0.006$	$39.3 \pm 0.3$
4:1	NPs	$82.8 \pm 4.3$	$0.154 \pm 0.003$	$36.1 \pm 0.5$
4.5:1	NPs	$138.2 \pm 4.2$	$0.135 \pm 0.013$	$39.8 \pm 0.9$
5:1	NPs	$166.9 \pm 7.4$	$0.165 \pm 0.011$	$39.4 \pm 0.2$
6:1	沉淀	_	_	

## **2.4** 中心组合设计-效应面法<sup>[13]</sup> (CCD-RSM) 优化 包封率与载药量

**2.4.1** 实验设计 采用 CCD-RSM 考察 PEI 质量浓度  $(X_1)$ 、ALG 质量浓度  $(X_2)$ 、PEI-ALG 质量比  $(X_3)$  对包封率  $(Y_1)$  及载药量  $(Y_2)$  的影响。X 因素均

取 5 个水平,见表 4。系统自动安排 20 个试验点,中心点 4 个,析因点 16 个,实验方案的观测值以及其代码见表 4。

表 4 中心组合试验设计表及结果
Table 4 Results of central composite design

试验号	$X_1/(\text{mg}\cdot\text{mL}^{-1})$	$X_2/(\text{mg}\cdot\text{mL}^{-1})$	$X_3$	<i>Y</i> <sub>1</sub> /%	Y <sub>2</sub> /%
1	2.50(0)	1.50(0)	5.01:1 (1.682)	13.5	6.9
2	3.00(1)	2.00(1)	4.50:1(1)	11.5	4.9
3	2.00 (-1)	2.00(1)	3.00:1(-1)	10.5	6.1
4	2.50(0)	1.50(0)	3.75:1(0)	21.5	10.2
5	2.50(0)	1.50(0)	3.75:1(0)	23.4	11.0
6	3.00(1)	1.00 (-1)	4.50:1(1)	19.6	8.1
7	3.00(1)	2.00(1)	3.00:1(-1)	15.5	8.8
8	2.50(0)	1.50(0)	3.75:1(0)	18.9	10.5
9	2.50(0)	1.50(0)	2.49:1 (-1.682)	10.3	4.7
10	2.00 (-1)	1.00 (-1)	4.50:1(1)	6.2	4.0
11	2.50(0)	0.66 (-1.682)	3.75:1(0)	8.9	4.5
12	2.50(0)	1.50(0)	3.75:1(0)	23.5	11.0
13	2.50(0)	1.50(0)	3.75:1(0)	24.3	10.7
14	1.66 (-1.682)	1.50(0)	3.75:1(0)	4.3	3.2
15	2.00 (-1)	1.00 (-1)	3.00:1(-1)	7.1	4.2
16	3.00(1)	1.00 (-1)	3.00:1(-1)	19.6	8.9
17	2.50(0)	1.50(0)	3.75:1(0)	21.4	10.1
18	3.34 (1.682)	1.50(0)	3.75:1(0)	26.5	11.3
19	2.00 (-1)	2.00(1)	4.50:1(1)	7.6	4.9
20	2.50(0)	2.34 (1.682)	3.75:1(0)	8.7	4.3

2.4.2 统计模型拟合及效应面分析 以  $Y_1$ 、 $Y_2$ 为响应值,分别对  $X_1$ 、 $X_2$ 、 $X_3$ 进行多元线性方程回归,得到多元二次拟合方程  $Y_1$ =-229.111 38+68.227 49  $X_1$ +82.416 53  $X_2$ +49.205 3  $X_3$ -8.500 00  $X_1X_2$ -0.066 667  $X_1X_3$ -2.000 00  $X_2X_3$ -8.932 69  $X_1^2$ -18.266 50  $X_2^2$ -6.169 97  $X_3^2$  ( $R^2$ =0.943 5, P<0.000 1),  $Y_2$ =-110.438 14+33.153 93  $X_1$ +36.742 67  $X_2$ +25.557 47  $X_3$ -4.050 00  $X_1X_2$ -1.766 67  $X_1X_3$ -0.700 00  $X_2X_3$ -3.256 98  $X_1^2$ -8.136 01  $X_2^2$ -2.736 05  $X_3^2$  ( $R^2$ =0.915 7, P<0.05)。由二次式响应面方差分析结果可知,F=18.57>4,P<0.05,说明统计差异有显著性意义,失拟项P=0.276 5 为不显著,表明实验误差小,其中  $X_1$ 、 $X_2$ 、 $X_3$ 、 $X_1^2$ 、 $X_2^2$ 、 $X_3^2$  是显著项模型。

采用 Design-Expert 8.0.6 软件绘制的三维效应 曲面见图 1,随 PEI-ALG 比值增加, $Y_1$ 、 $Y_2$ 均先上

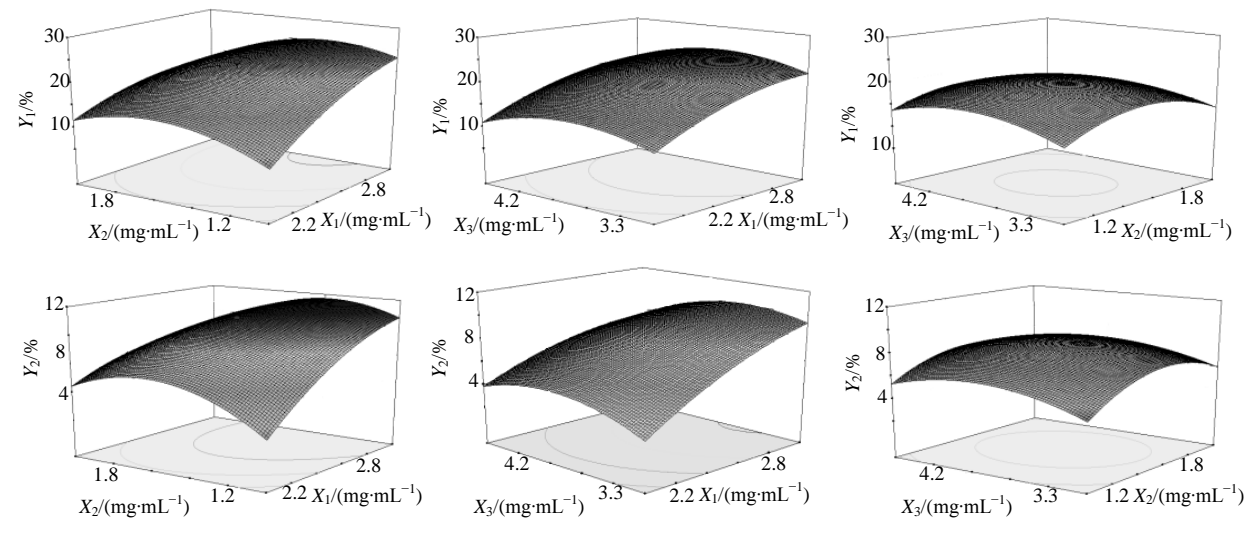


图 1 不同自变量对应的响应值的 CCD-RSM 图

Fig. 1 CCD-RSM diagram displaying different independent variables influence on response variables

升后下降;当固定 PEI-ALG 比值不变时, $Y_1$ 、 $Y_2$  均随着 PEI 的质量浓度增加而增大;随 ALG 的质量浓度的增加, $Y_1$ 、 $Y_2$ 则均先升高后逐渐降低。

根据中心组合设计-效应面法三维图、回归方程式以及结合制剂的稳定性综合考虑,以  $Y_1$ 、 $Y_2$ 为评估指标,确定实验方案的最优处方为  $X_1$ =3.2 mg/L,  $X_2$ =1.3 mg/mL,  $X_3$ =3.75:1。

按照上述处方平行制备 3 个样品,测定其包封率为(24.13±1.78)%,统计模型 Diagnostic 预测值为 24.72%,偏差 [偏差=(观察值-预测值)/预测值]为-2.9%;载药量为(11.17±0.71)%,预测值为 11.78%,偏差为-5.2%;二者偏差绝对值均低于10%,由此可以看出,效应面响应值与实际观测值比较接近。

### 2.5 粒径与电位的测定

取  $1.0\sim1.5$  mL Pur-PEI/ALG-NPs 溶液,使用马尔文激光粒度仪进行测定。如图 2 所示,Pur-PEI/ALG-NPs 平均粒径为( $118.0\pm0.4$ )nm,PDI 为  $0.150\pm0.014$ ,Zeta 电位( $35.2\pm0.7$ )mV。

#### 2.6 体外释放特性考察

采用透析法考察 Pur-PEI/ALG-NPs 及 Pur 混悬液(Pur-sus)在人工模拟泪液<sup>[14]</sup>中的释放行为。模拟泪液的配制过程如下:精密称取 2.18 g 碳酸氢钠、6.78 g 氯化钠、0.063 g 氯化钙和 1.38 g 氯化钾,分别用水溶解后混合,定容至 1 L。精密吸取 1.0 mL样品溶液于透析袋内,浸入 100 mL 模拟泪液中, $(34.0\pm0.5)$  °C、100 r/min 下恒温振荡,于预设时间点取样,测定 A 值,同时补充等温等体积模拟泪

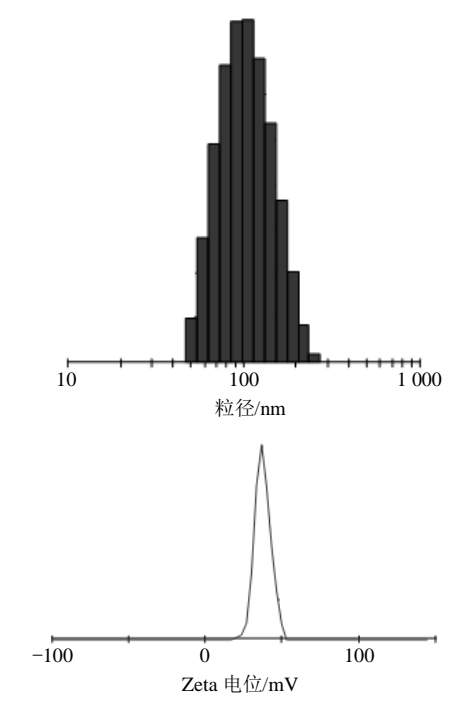


图 2 Pur-PEI/ALG-NPs 的粒径分布及电位图 (n=3) Fig. 2 Size distribution and Zeta potential of Pur-PEI/ALG-NPs (n=3)

液,计算药物累积释放率,结果见图 3。Pur 溶解性较差,其释放较为缓慢。而 PEI/ALG 为亲水性载体,对 Pur 的溶出有促进作用,故 Pur-PEI/ALG-NPs 释放速率加快。

### 2.7 体外释放曲线的模型拟合

对"2.6"项下的药物释放曲线,分别采用零级释放模型、一级释放模型、Higuchi 模型、Hixcon-Crowell 模型、Ritger-Peppas 模型、Weibull 模型进

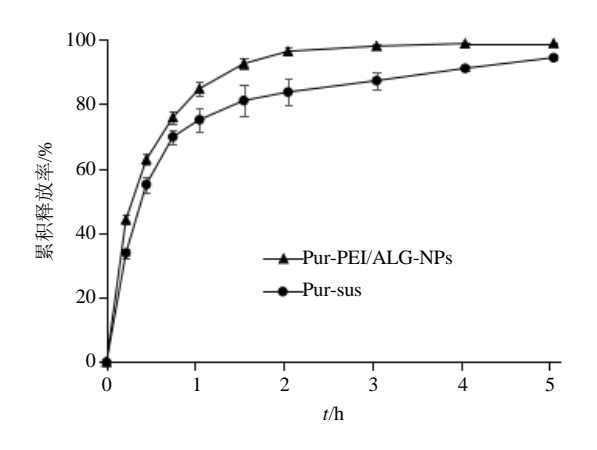


图 3 Pur-PEI/ALG-NPs 与 Pur-sus 体外释放曲线 ( $\overline{x} \pm s$ , n = 3)

Fig. 3 In vitro release profile of Pur-PEI/ALG-NPs and Pur-sus solution ( $\overline{x} \pm s$ , n = 3)

行拟合,以相关系数 (r) 来判断拟合优度。由表 5 可知,Pur-PEI/ALG-NPs 和 Pur-sus 的体外释药行为均与 Weibull 模型比较接近。

### 3 讨论

目前,纳米制剂是广泛研究的局部眼用给药系统之一,其粒径小可减少对眼部的刺激,延缓药物释放,实现靶向给药<sup>[15]</sup>。由于角膜表皮细胞带负电荷,因此带正电荷的药物或载体容易黏附于眼表黏膜层。Pur-PEI/ALG-NPs表面具有丰富的正电荷,其外层的PEI分子中的阳性氨壳与眼表黏膜阴性的唾液酸残基间发生静电吸附,能降低Pur在眼部的清除率,延长驻留时间。同时PEI具有强吸附性、细胞黏着力以及良好的质子缓冲能力<sup>[16]</sup>,在一定程度上可增加Pur在结膜囊内的稳定性,促进Pur的

表 5 体外释放曲线的拟合结果

Table 5 Mathematical models of in vitro release curves

释药模型	Pur-PEI/ALG-NPs	Pur-sus
零级方程	Q=8.7567t+65.761, r=0.7701	Q=9.3266t+55.654, r=0.8125
一级方程	ln(1-Q) = -0.8126 t + 3.6625, r = 0.9488	$ln(1-Q) = -0.439 \ 1 \ t + 3.872 \ 2, \ r = 0.961 \ 6$
Higuchi	$Q=27.442 t^{1/2}+47.773, r=0.880 6$	$Q=38.291 t^{1/2}+22.229, r=0.907 6$
Hixcon-Crowell	$(1-Q)^{1/3} = -0.5404 t + 3.2621, r = 0.8983$	$(1-Q)^{1/3} = -0.389 6 t + 3.572, r = 0.922 0$
Ritger-Peppas	$\ln Q = 0.244 \ 8 \ln t + 4.320 \ 6, \ r = 0.931 \ 6$	$\ln Q = 0.2897 \ln t + 4.1828, r = 0.9289$
Weibull	$ln[1/(1-Q)] = 1.360 \ 2 \ lnt + 2.173 \ 9, \ r = 0.980 \ 9$	ln[1/(1-Q)] = 0.7285 lnt + 1.4002, r = 0.9853

### 角膜渗透。

由于细胞毒性随着 PEI 相对分子质量的增大而增大,且带大量正电荷的 PEI 分子易被细胞内吞,进一步阻碍了药物转运。因此,本实验以低相对分子质量( $M_{\rm W}$ =600)PEI 为载体,并选用 ALG 作为交联剂,ALG 表面荷载大量的负电荷可屏蔽 PEI 表面的部分正电荷,从而降低细胞毒性<sup>[17]</sup>。

在采用自组装法制备 Pur-PEI/ALG-NPs 的过程中,ALG 的滴入速度过快,纳米粒容易团聚产生沉淀;搅拌时间太短,不利于纳米粒的形成;PEI 溶液的合适 pH 值为 5~6,过酸过碱均不利于纳米溶液的稳定。本实验 Pur-PEI/ALG-NPs 制备条件温和,操作简单,不添加任何有机试剂,给药方便,可提高患者用药的安全性和依从性,为临床研发 Pur 新型眼部给药系统提供了参考。

#### 参考文献

[1] 邓新国, 胡世兴, 张清炯, 等. 葛根素腹腔注射在兔视 网膜组织中的药动学研究 [J]. 中草药, 2004, 35(12): 1382-1384.

- [2] 赵春颖, 侯丽红, 车慧欣. 葛根素滴眼液对原发性开角型青光眼视盘参数及抗氧化能力的影响 [J]. 国际眼科杂志, 2015, 15(8): 1332-1334.
- [3] 张环宇, 李大伟, 史彩虹. 葛根素的临床应用研究进展 [J]. 现代药物与临床, 2012, 27(1): 75-78.
- [4] Gaudana R, Jwala J, Boddu S H, *et al.* Recent perspec-tives in ocular drug delivery [J]. *Pharm Res*, 2009, 26(5): 1197-1216.
- [5] 娄 杰, 贾云涛, 田 睿, 等. 眼用小栗碱白蛋白纳米 粒温敏原位凝胶的制备及性质研究 [J]. 中草药, 2013, 44(3): 277-281.
- [6] De La Fuente M, Csaba N, Garcia-Fuentes M, et al. Nanoparticles as protein and gene carriers to mucosal surfaces [J]. Nanomedicine, 2008, 3(6): 845-857.
- [7] 兰小川, 陈 辉, 顾海鹰, 等. 环抱素 A 壳聚糖纳米微粒防治增生性玻璃体视网膜病变 [J]. 中华实验眼科杂志, 2007, 25(12): 946-949.
- [8] Gaudana R, Ananthula H K, Parenky A, et al. Ocular drug delivery [J]. AAPS J, 2010, 12(3): 348-360.
- [9] Mitra M, Kandalam M, Rangasamy J, et al. Novel

- epithelial cell adhesion molecule antibody conjugated polyethyleneimine-capped gold nanoparticles for enhanced and targeted small interfering RNA delivery to retinoblastoma cells [J]. *Molecular Vision*, 2013, 19: 1029-1038.
- [10] Peng C H, Cherng J Y, Chiou G Y, *et al.* Delivery of Oct4 and SirT1 with cationic polyurethanes-short branch PEI to aged retinal pigment epithelium [J]. *Biomaterials*, 2011, 32(34): 9077-9088.
- [11] 蒋家云, 邹孟达, 陈施瀚, 等. 聚乙烯亚胺修饰纳米金基因载体制备及体外实验研究 [J]. 第三军医大学学报, 2016, 38(9): 921-925.
- [12] 夏海建,张振海,蒋 俊,等.雷公藤红素环糊精与油自组装小珠载药系统的制备及其体外评价 [J]. 中草药, 2013, 44(19): 2672-2676.

- [13] 谭静净,程 岚,李学涛. 中心组合设计-效应面法优化长春碱亲水基修饰阳离子脂质体的处方 [J]. 中草药, 2012, 43(9): 1742-1745.
- [14] Nanjawade B K, Manvi F V, Manjappa A S. In situ-forming hydrogels for sustained ophthalmic drug delivery [J]. *J Controlled Release*, 2007, 122(2): 119-134.
- [15] Reimondez-Troitiño S, Csaba N, Alonso M J, et al. Nanotherapies for the treatment of ocular diseases [J]. Eur J Pharm Biopharm, 2015, 95(Pt B): 279-293.
- [16] 李经忠, 土青青, 曹雪涛. 新型非病毒载体聚乙烯亚胺体内应用的研究进展 [J]. 国际药学研究杂志, 2004, 31(1): 34-37.
- [17] 王海杰, 谭玉珍. 聚乙烯亚胺纳米粒递送 siRNA 的抗肿瘤生长作用 [J]. 解剖科学进展, 2015, 21(4): 401-404.